

# به کارگیری تحلیل زمان-فرکانس و ماشین همیار در تشخیص خودکار مؤلفه‌ی P300 جهت ارتباط مغز با رایانه

سیده زهره سیدصالحی<sup>۱</sup>، علی مطیع نصرآبادی<sup>۲</sup> و وحید ابوظالبی<sup>۳</sup>  
۱- دانشگاه صنعتی امیرکبیر، پژوهشکده‌ی پردازش هوشمند علائم  
۲- گروه مهندسی پزشکی، دانشکده‌ی فنی، دانشگاه شاهد  
۳- دانشگاه یزد، پژوهشکده‌ی پردازش هوشمند علائم  
نویسنده‌ی عهده‌دار مکاتبات: سیده زهره سیدصالحی

## چکیده:

در این مطالعه، به بررسی ضرایب استخراج شده توسط تبدیل موجک Quadratic B-Spline، به‌عنوان یک تحلیل زمان-فرکانس در مقایسه با دسته ویژگی‌های حوزه‌ی زمان (ضرایب AR و ویژگی‌های شکلی-زمانی) و فرکانس (فرکانس‌های میانگین، نما و میانه) بر روی پتانسیل وابسته به‌رخداد مغزی پرداخته شده است. بررسی‌ها روی دادگان II مسابقه BCI2005 انجام شده است. مجموعه ویژگی‌ها با سه معیار مقایسه شده‌اند: معیار تفکیک‌پذیری دیویس بولدین، روش مبتنی برهمبستگی و معیار درصد صحت طبقه‌بندی. با هر سه معیار بهترین نتیجه مربوط به مجموعه ضرایب تبدیل موجک بود. سپس با طبقه‌بندی با یک ماشین همیار مبتنی بر LDA-SVM-MLP و ضرایب تبدیل موجک در مورد سوژه‌ی A در تشخیص سیگنال هدف و غیرهدف به‌طور میانگین برای دادگان آموزش، درصد صحت تشخیص ۹۷/۶٪ و برای آزمون ۹۴/۲٪ به‌دست آمد. همچنین در مورد سوژه‌ی B نیز نتایج عبارتند از: ۹۸/۲٪ در آموزش و ۹۲/۸٪ در آزمون.

واژه‌های کلیدی: مؤلفه‌ی P300، تبدیل موجک، BCI Speller 2005 و ماشین همیار

## ۱- مقدمه

سیگنال‌های مغزی<sup>۱</sup> (EEG) حاصل فعالیت بسیاری از سلول‌های مغز هستند. این سلول‌ها مرکز تصمیم‌گیری و صدور تمامی فرمان‌های ارادی و بسیاری از فرمان‌های غیرارادی می‌باشند و نحوه‌ی فعالیت آن‌ها تا حدودی به وضعیت روحی-روانی و شرایطی که فرد در آن به‌سر می‌برد، بستگی دارد. بنابراین از ابتدای کشف این سیگنال‌ها محققان برآن شدند تا با ثبت و پردازش آن‌ها، وضعیت روحی-روانی افراد را تحت‌نظر داشته باشند. پس از اندک زمانی، برخی محققان به این سمت گرایش یافتند که با استفاده از پردازش و تفکیک سیگنال‌های EEG راهی تازه برای ایجاد ارتباط مغز با رایانه<sup>۲</sup> (BCI) بیابند. این کاربرد سیگنال EEG به‌خصوص

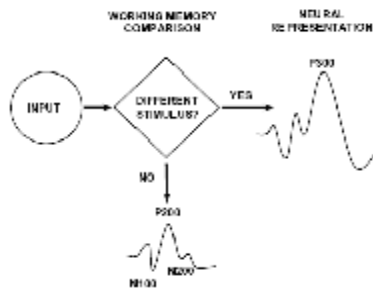
هنگامی که فرد بر اثر بیماری، حادثه و یا به‌طور مادرزادی توانایی حرکت و تکلم را از دست می‌دهد، مورد توجه است. هم‌اکنون استفاده از تغییرات EEG در اثر حرکت دست یا پا و یا تصور این حرکات و ظاهرشدن پتانسیل‌های پرتعدادترین مشخصه‌های EEG به‌عنوان ابزار BCI قرار دارد [۱]. از این میان، پتانسیل‌های برانگیخته با منشاء درونی<sup>۳</sup> از جمله P300 به‌دلیل پایداری، مورد توجه فراوان قرار گرفته‌اند [۲]. این مؤلفه به‌دلیل فعالیت خاصی از مغز رخ می‌دهد که در نتیجه‌ی حضور یک تحریک غیرمعمول ظاهر می‌شود [۳]. با توجه به دامنه‌ی کم P300، تشخیص این مؤلفه از EEG زمینه، مشکل می‌باشد؛ لذا به‌منظور بهبود سیستم‌های مبتنی بر P300 باید روش‌هایی در جهت تشخیص هرچه بهتر این مؤلفه صورت گیرد [۱]. این بهبود

<sup>1</sup> Electro Encephalograph

<sup>2</sup> Brain Computer Interface

<sup>3</sup> Endogenous

چارچوب، مؤلفه‌ی P300، بیانگر فعالیت مغزی در تجدید نظر الگوهای ذهنی القاء شده توسط محرک ورودی است. بعد از پردازش حسی اولیه، یک فرآیند مقایسه‌ای توجّه محور، به ارزیابی تحریک اعمال شده در حافظه‌ی کاری می‌پردازد.



شکل ۱: نظریه‌ی به‌روزرسانی مفهوم برای P300 [۵]

اگر تغییری در خصوصیات تحریک، تشخیص داده نشود، مدل ذهنی فعلی با الگوی تحریک باقی می‌ماند و فقط پتانسیل‌های تحریک حسی (N100, P200, N200) ثبت می‌شوند ولی اگر یک تحریک جدید تشخیص داده شود، فرآیند توجّه، تغییر یا به‌روز شدن را تحت کنترل می‌گیرد که این، ملازم با تولید P300 است.

علی‌رغم مطالعات مختلفی که بر روی P300 انجام شده، هنوز نتیجه‌ی واحدی در مورد محلّ تولید آن به‌دست نیامده است. بخشی از مطالعات اولیه بر روی این موضوع به این نتیجه منجر شده بود که بخشی از P300 در ناحیه‌ی میانی-گیجگاهی<sup>۹</sup> و در قسمت هیپوکمپوس<sup>۱۰</sup> (که با فراگیری و حافظه در ارتباط است) تولید می‌شود؛ ولی تحقیقات بعدی نشان دادند که هیپوکمپوس تأثیر غیرمستقیم بر P300 دارد و یافته‌های جدید، بیشتر بر تأثیر اتصال گیجگاهی-آهیانه‌ای<sup>۱۱</sup> تأکید می‌کنند که نشان می‌دهد P300 یک فرآیند قشری است [۵].

در مورد ریشه‌ی عملکردی این موج نیز در مجموع مطالعات انجام‌شده نشان داده است که تغییرات در اندازه‌ی P300 نشانی از تخصیص‌دهی منابع توجّه<sup>۱۲</sup> برای پردازش‌های حافظه‌ای است و تأخیر P300 منعکس‌کننده‌ی زمان لازم برای تخصیص منابع و به‌روزرسانی<sup>۱۳</sup> حافظه برای یک کار خاص و یک فرد خاص است [۵].

در بخش‌های مختلف این سیستم از جمله در دو بخش استخراج ویژگی و طبقه‌بندی که مورد توجّه این مقاله است، می‌تواند حاصل شود. در این مقاله از دادگان II مسابقه BCI2005 استفاده شده است که بر اساس برنامه‌ی P300 Speller ثبت شده‌اند. چند مجموعه ویژگی شامل ویژگی‌های زمانی (ریخت‌شناسی، پارامترهای خودبازگشتی)، فرکانسی (فرکانس‌های نما، میانگین و میانگین و زمان-فرکانسی (ضرایب تبدیل موجک) بررسی شده است. جهت ارزیابی هر مجموعه از ویژگی‌ها، معیار تفکیک‌پذیری در فضای آن ویژگی مدنظر قرار گرفته است. در بررسی قدرت تفکیک‌پذیری از سه روش استفاده شده است. روش اول ارزیابی اطلاعاتی مجموعه ویژگی‌ها با معیار دیویس-بولدین<sup>۱</sup>، روش دوم مبتنی بر همبستگی<sup>۲</sup> و روش سوم درصد صحّت در طبقه‌بندی هر مجموعه با یک طبقه‌بندی‌کننده است. در ادامه با استفاده از مجموعه ویژگی منتخب به طبقه‌بندی دادگان با استفاده از یک طبقه‌بندی‌کننده ترکیبی که یک ماشین همیار<sup>۳</sup> متشکل از SVM<sup>۴</sup>, LDA<sup>۵</sup>, MLP<sup>۶</sup> می‌باشد، پرداخته شده است.

## ۲ - مؤلفه‌ی P300

P300 که یکی از مؤلفه‌های پتانسیل‌های وابسته به رخداد<sup>۷</sup> (ERP) می‌باشد، هنگامی که مغز در حین پردازش یک سری تحریکات معمول، با یک تحریک غیرمعمول مواجه می‌شود، در سیگنال مغزی ظاهر می‌شود. برخی محققان، معتقدند که برای تولید آن، وظیفه‌ی خاصی هم برای فرد باید تعریف شود که تنها در پاسخ به تحریک هدف انجام دهد و برخی دیگر این امر را باعث تقویت P300 دانسته‌اند. P300 یک مؤلفه‌ی فرکانس پایین است که دارای پلاریته مثبت و دامنه‌ی حدود ۱۰ تا ۱۵ میکروولت می‌باشد. در تحریکات شنوایی حدود ۳۰۰ میلی‌ثانیه بعد از اعمال تحریک ظاهر می‌شود که علت انتخاب نام P300، پلاریته مثبت و این تأخیر است. البته در سایر تحریک‌ها مانند بینایی، این مؤلفه با تأخیر بیشتری رخ می‌دهد [۴].

شکل (۱) به‌طور نمادین شرحی بر فرآیند ادبال<sup>۸</sup> را بر اساس نظریه‌ی به‌روزرسانی مفهوم<sup>۹</sup> بیان می‌کند. در این

<sup>1</sup> Davies Bouldin

<sup>2</sup> Correlation Based

<sup>3</sup> Committee Machines

<sup>4</sup> Multilayer Perceptron

<sup>5</sup> Linear discriminant analysis

<sup>6</sup> Support Vector Machine

<sup>7</sup> Event Related Potential

<sup>8</sup> Oddball

<sup>9</sup> Context-Updating

<sup>10</sup> Medial-Temporal

<sup>11</sup> Hippocampus

<sup>12</sup> Temporal-Parietal Junction

<sup>13</sup> Attentional Resource Allocation

<sup>14</sup> Updating

### ۳ - به کارگیری P300 در سامانه‌ی واسط مغز و رایانه

در موارد مختلفی، از P300 به عنوان ورودی سیستم‌های BCI استفاده شده است. از جمله پلی‌کاف<sup>۱</sup> و بلیس<sup>۲</sup> در تحقیقات جداگانه‌ای از P300 برای طراحی یک سیستم BCI برای افراد کاملاً فلج<sup>۳</sup> که قابلیت هیچ‌گونه حرکتی را نداشتند، استفاده کرده‌اند. در روش پلی‌کاف تحریک به صورت علامت‌هایی در چهار جهت اصلی نمایش داده می‌شد و فرد در هنگام نمایش جهت مورد نظر، باید کار خاصی را انجام می‌داد؛ این کار باعث می‌شد که تنها برای این تحریک یک مؤلفه‌ی P300 در پاسخ ظاهر شود که با تشخیص آن می‌توانست به جهت مورد نظر فرد پی‌ببرد. البته با توجه به نیاز این روش به حداقل تعداد تحریک برای دستیابی به یک موج P300 قابل تشخیص، این کار از نظر سرعت زمانی، خیلی کند بود؛ ولی به هر حال برای کسی که قابلیت هیچ‌گونه حرکتی را نداشت، می‌توانست مفید باشد [۶].

در تحقیق دیگری فارول<sup>۴</sup> از فردی معلول خواست که جلوی یک جدول که خانه‌های آن به صورت نوری چشمک می‌زد، بنشیند. هر خانه یک کلمه را مشخص می‌کرد؛ تعدادی از این کلمات ابتدا به فرد معرفی و در هنگام آزمایش، هر چند ثانیه‌ای به صورت ناگهانی یک سطر و یک ستون ماتریس روشن می‌شد. بدیهی است که توجه فرد به خانه‌ای که در محل تلاقی سطر و ستون ماتریس بود، معطوف می‌شد. اگر کلمه واقع در خانه‌ی مورد نظر جزء کلمات معرفی شده به فرد بود، سیگنال P300 به نشانه‌ی ادراک فرد بر روی سیگنال EEG ظاهر می‌شد؛ حداکثر نرخ مواردی که در این تحقیق درست تشخیص داده شد، هفت مورد در دقیقه بود [۷].

دوچین<sup>۵</sup> نیز در کاری مشابه نشان داد که وقتی به افراد، یک کلمه‌ی معرفی می‌شود و در مرحله بعدی افراد در یک جدول متشکل از کلمات متفاوت همان کلمه را می‌بینند، سیگنال P300 در EEG آن‌ها ظاهر می‌شود؛ بنابراین وجود سیگنال P300 به منزله‌ی ادراک یا تأیید کلمه‌ی مزبور توسط مغز است. هم‌چنین به منظور افزایش سرعت انتخاب حروف توسط مغز، چندین الگوی تصویری

پیشنهاد داد که در بهترین حالت آن، نرخ تشخیص ۷/۸ کاراکتر در دقیقه، با دقت بالای ۸۰٪ گزارش شده است [۸].

در سال ۲۰۰۳ گروه وادسورث<sup>۶</sup> دادگانی را که بر مبنای برنامه‌ی P300-Speller، ثبت شده بود، به منظور مسابقه BCI2003 در اختیار گذاشت [۹]. گروه‌های مختلفی در این زمینه کار کردند؛ از جمله بوستانف<sup>۷</sup> با استفاده از تابع موجک و توزیع آماری T-Student روشی جدید برای استخراج ویژگی از ERP معرفی نمود. وی از نمودار دو بعدی اسکالوگرام<sup>۸</sup> به منظور یافتن مقدار بیشینه P300 استفاده کرد و آن را نیز به مجموعه ویژگی‌ها اضافه نمود [۱۰]. ننگ‌زو<sup>۹</sup> نیز در دادگان این مسابقه از آنالیز مؤلفه‌های مستقل<sup>۱۰</sup> (ICA) برای آشکارسازی P300 استفاده کرد تا هم منابع مستقل سیگنال را از هم جدا کند و هم قطعات زمانی مشکوک را از میان بردارد [۱۱]. کپییر<sup>۱۱</sup> نیز از SVM با کرنل گوسی استفاده کرد. وی سیگنال ۱۰ کانال را از زمان اعمال تحریک تا ۶۰۰ میلی‌ثانیه بعد را به عنوان ویژگی به کار برد [۱۲]. هافمن<sup>۱۲</sup> در تحقیقی در سال ۲۰۰۵ روش بوستینگ<sup>۱۳</sup> را برای آشکارسازی P300 در دادگان BCI2003 بررسی کرد [۱۳].

یانگ‌لیو<sup>۱۴</sup> در مقاله‌ای در سال ۲۰۰۵ روش T-Weighted را برای پردازش اطلاعات عصبی در P300 وابسته به BCI بررسی کرد که در آن از دو سری داده‌ی BCI2003-IIb و BCI2005-II استفاده شده است. نتایج به دست آمده روی داده‌ی سال ۲۰۰۳ با ۸ تکرار، در تشخیص کاراکتر، ۱۰۰٪ صحت را نشان می‌دهد و روی داده‌ی سال ۲۰۰۵ با ۱۵ تکرار، صحت ۹۰٪ به دست آمده است [۱۴].

ونگ<sup>۱۵</sup> در سال ۲۰۰۵ یک سیستم BCI بر پایه P300 معرفی کرد که این سیستم در دو بخش تشخیص کلمه و کنترل اجسام از راه دور طراحی شده که قادر به تشخیص ۴ تا ۶ کلمه در دقیقه بود [۱۵].

<sup>6</sup> Wadsworth

<sup>7</sup> Bostanov

<sup>8</sup> Scalogram

<sup>9</sup> Neng Xu

<sup>10</sup> Independent Component Analysis

<sup>11</sup> Kaper

<sup>12</sup> Hoffmann

<sup>13</sup> Boosting

<sup>14</sup> Yang Liu

<sup>15</sup> Wang

<sup>1</sup> Polikoff

<sup>2</sup> Bayliss

<sup>3</sup> Totally Paralyzed

<sup>4</sup> Farwell

<sup>5</sup> Donchin

حاوی P300 و ۱۵۰ سیگنال فاقد آن، موجود می‌باشد. در این مقاله از دادگان ۸۵ کاراکتر از مجموعه دادگان آموزش مسابقه برای یک شخص استفاده شده است که در مجموع شامل ۳۰\*۸۵ سیگنال P300 دار و ۸۵\*۱۵۰ سیگنال فاقد P300 است. سیگنال‌ها از ۶۴ کانال ثبت شده است [۱۷].

## ۵ - روش‌های پردازشی

### ۵-۱- پیش‌پردازش‌های انجام شده

به‌منظور آماده‌سازی سیگنال‌ها برای استخراج ویژگی، باید یکسری پردازش‌های اولیه روی سیگنال‌ها اعمال می‌شد که در ادامه به آن‌ها اشاره می‌شود.

#### ۵-۱-۱- پنجره‌گذاری

همان‌طور که اشاره شد، ثبت سیگنال پشت سرهم با همپوشانی انجام شده است. به‌منظور تفکیک سیگنال مرتبط با هر تحریک و با توجه به تأخیر بروز مؤلفه‌ی P300، از سیگنال در بازه‌ی ۱۰۰ تا ۷۰۰ میلی‌ثانیه بعد از اعمال تحریک استفاده شد.

#### ۵-۱-۲- فیلتر کردن

عمده‌ی انرژی مؤلفه‌ی P300 در فرکانس‌های پایین، متمرکز است. بنابراین فرکانس‌های پایین سیگنال حاوی بیشترین اطلاعات مرتبط با P300 هستند؛ لذا به‌منظور حذف اطلاعات فرکانس بالا که می‌توانند نقش نویز را اعمال کنند و همچنین حذف DC، یک فیلتر میان‌گذر ۰/۵ تا ۸ هرتز به سیگنال اعمال شد. فیلتر انتخاب شده یک فیلتر الیپتیک<sup>۳</sup> می‌باشد که از ترکیب دو فیلتر بالاگذر و پایین‌گذر درجه ۳ ساخته شده است.

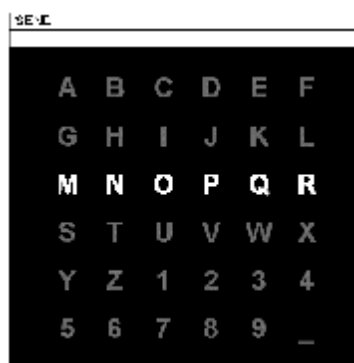
#### ۵-۱-۳- میانگین‌گیری

از آنجاکه EEG زمینه به‌عنوان نویز در دادگان حاوی P300 عمل می‌کند، لذا مانند دستورالعمل مسابقه‌ی BCI2005 از ۱۵ بار میانگین دادگان استفاده شد. لازم به ذکر است که سیگنال‌های مرتبط با یک کاراکتر و یک نوع تحریک (سطری یا ستونی) میانگین گرفته شده‌اند. شکل (۳) میانگین سیگنال P300 دار و فاقد آن را برای دادگان کانال Cz نشان می‌دهد. همان‌طور که مشاهده می‌کنید در این تحریک که از نوع بینایی می‌باشد، قله‌ی P300 با تأخیری

هینک<sup>۱</sup> در سال ۲۰۰۷ استفاده از P300 را در RSA<sup>۲</sup> پیشنهاد داد. وی برای ایجاد P300 در این سیستم از تحریک شنوایی استفاده کرد [۱۶].

## ۴ - مشخصات ثبت داده

دادگان توسط گروه وادثورث و در سیستم BCI2000 ثبت شده‌اند. این سیگنال‌ها از دو فرد A و B ثبت شده‌است که شامل دو دسته‌اند. دسته‌ی اول دارای مؤلفه‌ی P300 و دسته‌ی دوم فاقد آن هستند. در این آزمایش یک جدول با ابعاد ۶\*۶ حاوی ۳۶ کاراکتر مانند شکل (۲) به کار رفته است.



شکل ۲: ماتریس تحریک برای ثبت دادگان BCI2005 II [۱۷]

یک کاراکتر به‌عنوان مورد هدف توسط آزمایش‌گر تعیین شده است که در بالای جدول نمایش داده می‌شد. در ابتدای ظاهر شدن جدول، تمام حروف به رنگ خاکستری در یک پس زمینه سیاه نمایان می‌شدند؛ سپس به‌طور تصادفی یک سطر یا ستون روشن می‌شد و به رنگ سفید در می‌آمد؛ این سطر یا ستون به مدت ۱۰۰ میلی‌ثانیه در وضعیت روشن باقی و بعد، ۷۵ میلی‌ثانیه تمام سطرها و ستون‌ها خاموش می‌ماند تا آن‌که سطر یا ستون بعدی به‌طور تصادفی روشن شود، به‌نحوی که قبل از روشن شدن سطر یا ستون تکراری تمام سطرها و ستون‌ها یک بار روشن شده باشند.

بدین ترتیب برای یک دور کامل از آزمایش، ۱۲ تحریک اتفاق می‌افتاد که فقط دو مورد حاوی کاراکتر هدف و در نتیجه مؤلفه‌ی P300 بود. این آزمایش‌ها برای هر کاراکتر ۱۵ مرتبه تکرار شده است؛ لذا برای هر کاراکتر ۳۰ سیگنال

<sup>1</sup> Hinic

<sup>2</sup> Robotic Sensor Agents

<sup>3</sup> Elliptic

۱. دامنه<sup>۲</sup>: بیشترین مقدار دامنه سیگنال

$$s_{\max} = \max\{s(t)\} \quad (1)$$

۲. تأخیر<sup>۳</sup>: تأخیر قله  $s(t)$  یعنی زمانی که بیشینه‌ی دامنه سیگنال رخ می‌دهد.

$$t_{s_{\max}} = \{t \mid s(t) = s_{\max}\} \quad (2)$$

۳. نسبت تأخیر به دامنه<sup>۴</sup>:

$$\frac{t_{s_{\max}}}{s_{\max}} \quad (3)$$

۴. عبور از صفر<sup>۵</sup>: تعداد مرتبه‌ای که در پنجره‌ی زمانی پیک تا قله،  $s(t)$  برابر صفر می‌شود.

$$n_{zc} = \sum_{t=t_{\min}}^{t_{\max}} \delta(s) \quad (4)$$

که در آن:

$$\delta(s) = \begin{cases} 1 & \text{if } s(t) = 0 \\ 0 & \text{Otherwise} \end{cases} \quad (5)$$

۵. چگالی عبور از صفر<sup>۶</sup>: تعداد عبور از صفر در واحد زمان در پنجره‌ی زمانی قله تا قله.

$$d_{zc} = \frac{n_{zc}}{t_{pp}} \quad (6)$$

۶. ناحیه‌ی منفی<sup>۷</sup>: مجموع مقادیر منفی سیگنال.

$$A_n = \sum_{t=0}^N 0.5 (s(t) - |s(t)|) \quad (7)$$

۷. مجموع سطوح<sup>۸</sup>:

$$A_p = \sum_{t=0}^N 0.5 (s(t) + |s(t)|) \quad (8)$$

$$A_{pm} = A_p + A_n$$

۸. مجموع قدرمطلق سطوح<sup>۹</sup>:

<sup>2</sup> Amplitude

<sup>3</sup> Latency

<sup>4</sup> Latency Amplitude Ratio

<sup>5</sup> Zero Crossings

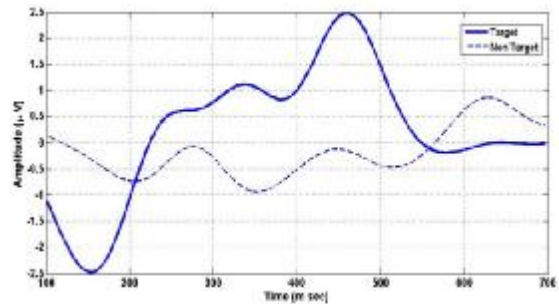
<sup>6</sup> Zero Crossing Density

<sup>7</sup> Negative Area

<sup>8</sup> Total Area

<sup>9</sup> Total Absolute Area

بیشتر از ۳۰۰ میلی‌ثانیه در حدود ۴۶۰ میلی‌ثانیه رخ داده است.



شکل ۳: نمایش میانگین دادگان هدف و غیر هدف کانال Cz

## ۵-۲- استخراج ویژگی

حذف اطلاعات اضافی و استخراج مؤلفه‌هایی از سیگنال که در طبقه‌بندی آن مؤثر است، به منظور بالا بردن دقت طبقه‌بندی لازم می‌باشد. به همین منظور چندین مجموعه ویژگی در حوزه‌های مختلف از سیگنال‌ها استخراج گردیده است.

## ۵-۲-۱- ویژگی‌های حوزه‌ی زمان

ویژگی‌های شکلی - زمانی (ریخت شناسانه)

به دلیل شکل نسبتاً مشخص ERPها و ظاهر خاص آنها، ویژگی‌های شکلی - زمانی، از جمله اولین ویژگی‌هایی هستند که برای تحلیل خودکار این سیگنال‌ها مورد توجه قرار گرفته‌اند. در این مقاله ۱۲ ویژگی مناسب که هر کدام اطلاعات خاصی از شکل قله‌ها و تأخیرهای زمانی را بیان می‌کنند، مورد استفاده قرار گرفته است. کالاتزیس<sup>۱</sup> و همکارانش در یک کار تحقیقی از این مجموعه ویژگی برای آشکارسازی مؤلفه‌ی P600 در ERP استفاده کرده‌اند و نتایج مطلوبی از آن به دست آورده‌اند [۱۸]. همچنین در [۴] و [۱۹] نیز این ویژگی‌ها برای تشخیص مؤلفه‌ی P300 مورد استفاده قرار گرفته‌اند. ویژگی‌های شکلی - زمانی که در این مقاله به کار رفته‌اند، به صورت زیر تعریف می‌شوند که در رابطه‌ها، منظور از  $s(t)$  سیگنال میانگین گرفته شده از ۱۵ ثبت در محدوده ۱۰۰ تا ۷۰۰ میلی‌ثانیه بعد از تحریک می‌باشد.

<sup>1</sup> Kalatzis

سیگنال نمی‌شود. ضرایب فوق در اینجا با روش یول‌وکر<sup>۵</sup> محاسبه شده که  $p = 6$  در نظر گرفته شده است [۲۰].

$$A_{pn} = |A_p| + |A_n| \quad (9)$$

۹. متوسط قدرمطلق شیب سیگنال<sup>۱</sup>:

$$|\bar{s}| = \frac{1}{n} \sum_{t=0}^{N-t} \frac{1}{\tau} |s(t+\tau) - s(t)| \quad (10)$$

۱۰. دامنه‌ی قلّه تا قلّه سیگنال<sup>۲</sup>: دامنه پیک بیشینه و کمینه سیگنال.

$$pp = s_{\max} - s_{\min} \quad (11)$$

۱۱. پنجره زمانی قلّه تا قلّه<sup>۳</sup>:

$$t_{pp} = t_{s_{\max}} - t_{s_{\min}} \quad (12)$$

۱۲. شیب قلّه تا قلّه<sup>۴</sup>:

$$\dot{s}_{pp} = \frac{pp}{t_{pp}} \quad (13)$$

پارامترهای خودبازگشتی

این پارامترها، ضرایب مدل تخمین زده شده‌ی نمونه‌هایی از سیگنال هستند که از آن‌ها به‌عنوان ویژگی‌های سیگنال می‌توان استفاده کرد. این روش به تخمین سیگنال  $n$  عددی با توجه به  $p$  نمونه از داده‌های قبلی سیگنال می‌پردازد که به‌صورت رابطه‌ی زیر نمایش داده می‌شود:

$$y(n) = \sum_{i=1}^p a_i Y(n-i) + e(n) \quad (14)$$

$$\hat{y}(n) = -\sum_i^p a_i y(n-i) \quad (15)$$

که در رابطه‌ی فوق  $p$  درجه‌ی مدل و  $y(n)$  سیگنال اصلی و  $\hat{y}(n)$  سیگنال تخمین زده شده است. مزیت این ویژگی‌ها در کنار ویژگی‌های فرکانسی سیگنال این است که اولاً تعداد این ویژگی‌ها با توجه به درجه‌ی مدل، محدود می‌شود و دوم این‌که بیانی از روابط اصلی بین مقادیر سیگنال را نشان می‌دهد که تا حدود زیادی شامل نویزهای موجود در

### ۵-۲-۲- ویژگی‌های حوزه‌ی فرکانس

برخی محققان اعتقاد دارند که از طریق پردازش ERP در حوزه‌ی فرکانس، می‌توان به اطلاعات مفیدی رسید. برخی از جمله بشار<sup>۶</sup> معتقدند که ERP نیز مانند EEG حاصل یک سری فعالیت‌های انجام شده در باندهای مختلف فرکانسی (دلتا، تتا، آلفا، بتا و گاما) است که هرکدام از این باندها به بخش خاصی از فعالیت مغزی مربوطاند و در واقع مؤلفه‌های عملکردی ERP را می‌سازند [۲۱]. در [۲۲] از سه مشخصه‌ی حوزه‌ی فرکانس یعنی: فرکانس نما، فرکانس میانگین و فرکانس میانه جهت طبقه‌بندی سیگنال‌های برانگیخته‌ی بینایی وابسته به تحریک، استفاده شده است و دلیل مناسب بودن آن‌ها، توانمندی‌شان در مشخص کردن تغییر توزیع انرژی سیگنال در باندهای فرکانسی بیان گردیده است. این سه مشخصه‌ی فرکانسی، مطابق روابط زیر پیاده‌سازی شده‌اند:

فرکانس نما<sup>۷</sup>

فرکانسی  $f_{\text{mode}}$  است که بیشترین مقدار را در چگالی طیف توان سیگنال داشته باشد. در واقع بیشترین دامنه در نمودار چگالی طیف توان، مربوط به فرکانس نما خواهد بود.

$$S(f_{\text{mode}}) = \text{Max}\{S(f)\} \quad (16)$$

که در این رابطه،  $S$  چگالی طیف توان سیگنال و  $f$  فرکانس است.

فرکانس میانه<sup>۸</sup>

به میانه وزنی فرکانس‌های موجود در چگالی طیف توان اطلاق می‌شود که برای به‌دست‌آوردن آن از رابطه‌ی (۱۷) استفاده می‌شود:

$$\int_0^{f_{\text{median}}} S(w)dw = \int_{f_{\text{median}}}^{\infty} S(w)dw \quad (17)$$

فرکانس میانگین<sup>۹</sup>

به میانگین وزنی فرکانس‌های موجود در چگالی طیف توان سیگنال گفته می‌شود که از رابطه‌ی زیر قابل محاسبه است:

<sup>5</sup> Yule-Walker

<sup>6</sup> Basar

<sup>7</sup> Mode

<sup>8</sup> Median

<sup>9</sup> Mean

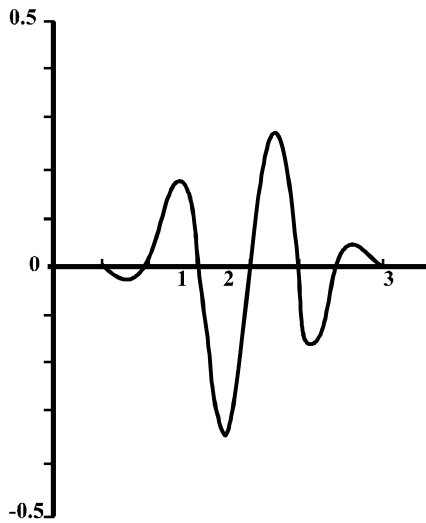
<sup>1</sup> Average Absolute Signal Slope

<sup>2</sup> Peak to Peak Amplitude

<sup>3</sup> Peak to Peak Time Window

<sup>4</sup> Peak to Peak Slope

استفاده از ضرایب فیلترهای سازنده‌ی آن که در [۲۵] آمده است، پیاده‌سازی شده و مورد استفاده قرار گرفته است.



شکل ۴: موجک Quadratic B\_Spline [۲۵].

به منظور تجزیه‌ی سیگنال، از روش کد کردن زیرباندی<sup>۶</sup> استفاده شد. روش به این صورت است که از قسمت فرکانس بالا به طرف پایین، عمل فیلتر کردن صورت می‌گیرد. یعنی ابتدا نیمه‌ی بالایی طیف، جدا می‌شود، سپس نیمه‌ی پایین، خود به دو قسمت تبدیل می‌شود و این روند ادامه می‌یابد. باید توجه داشت که تعداد نمونه‌ها در این فرآیند دو برابر اندازه‌ی طیف است؛ پس لازم است که در هر مرحله نرخ نمونه‌برداری نصف شود. شکل (۵) الگوریتم را نمایش می‌دهد [۲۷].

در این مقاله، تجزیه‌ی سیگنال تا ۵ سطح صورت گرفت که ۶ مجموعه ضریب به دست آمد؛ اما با توجه به محدوده‌ی فرکانسی سیگنال، فقط از ۵ ضریب میانی باندهای دلتا و تتا در سطح پنجم به عنوان ویژگی استفاده شد.

### ۵-۳- ارزیابی ویژگی‌ها

یک دسته ویژگی بهینه، لزوماً مجموعه‌ای متشکل از ویژگی‌هایی که تک‌تک مناسب‌اند، نیست؛ چرا که این مجموعه ممکن است به علت همپوشانی در اطلاعات، درکل، اطلاعات بیشتری از مجموعه‌ای کوچک‌تر نداشته باشد. همچنین اضافه کردن یک ویژگی غیرمناسب به یک دسته ویژگی بهینه، شاید با افزودن اطلاعات غیرتکراری همراه

$$f_{mean} = \frac{\int_0^{\infty} f \cdot S(f) df}{\int_0^{\infty} S(f) df} \quad (18)$$

### ۵-۲- ویژگی‌های حوزه‌ی زمان-فرکانس

تجزیه‌ی سیگنال ERP به مؤلفه‌های غیرهمبسته‌ی زمان-فرکانسی که دارای الگوی خاص در کانال‌های مختلف مغزی می‌باشند، نشان‌دهنده‌ی زیرپردازش‌های<sup>۱</sup> درگیر در طی تولید P300 می‌باشد که در دوره‌های زمانی همپوشان در باندهای مختلف فرکانسی بروز می‌کنند، لذا پردازش‌های زمانی قادر به تشخیص آن‌ها نیستند. به همین دلیل ویژگی‌های زمان-فرکانسی مطرح می‌شوند که از میان آن‌ها ضرایب تبدیل موجک گسسته پیشنهاد می‌شود [۲۳]. در این تبدیل، دو دسته تابع مقیاس و موجک مطرح است. توابع موجک، شکل موج‌هایی هستند که دارای دوره‌ی مؤثر محدود و مقدار میانگین صفر می‌باشند. اساس این تبدیل شکستن سیگنال به مجموعه‌ای از این موجک‌های شیفت‌یافته و مقیاس یافته از یک موجک اصلی (موجک مادر) می‌باشد. موجک مادر از تابع خاصی پیروی نمی‌کند، لذا می‌توان اشکال مختلفی با توجه به شکل سیگنال طراحی کرد که این مزیت تبدیل موجک نسبت به سایر تبدیل‌هاست [۲۴].

### تبدیل موجک Quadratic B\_Spline

آدم‌گلو<sup>۲</sup> در گزارش تحقیقی که بر روی خواص و کاربرد تبدیل موجک B-Spline انجام داده است [۲۵]، ضمن اشاره به خواص مفید B-Spline‌ها، از جمله محلی‌سازی زمان-فرکانسی تقریباً بهینه، نیمه‌متعامد بودن<sup>۳</sup> و پشتیبانی فشرده‌ی<sup>۴</sup> آن را به خاطر شباهت تابع مادرش به پتانسیل‌های عمل و همچنین شکل غیرمتمقارنش، برای کار با ERP‌ها مناسب دانسته است. نمایی از این موجک در شکل (۴) آورده شده است.

دمیرالپ<sup>۵</sup> نیز در تحقیقی که بر روی مؤلفه‌های مختلف فرکانسی موج P300 انجام داده است، از این تبدیل موجک استفاده کرده و خواص آن را مناسب ارزیابی نموده است [۲۶]. بنابراین در این تحقیق نیز برای تجزیه‌ی سیگنال به مؤلفه‌های زمان-فرکانسی، این نوع تبدیل موجک با

<sup>1</sup> Sub Process

<sup>2</sup> Ademoglu

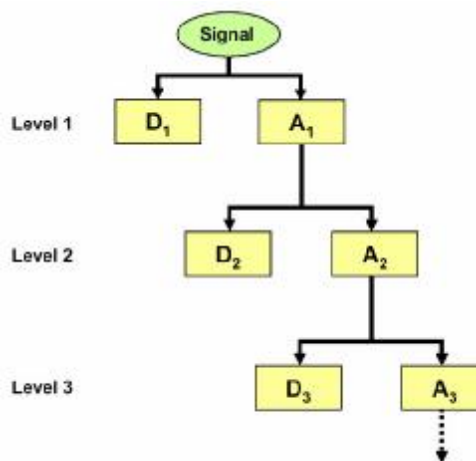
<sup>3</sup> Semiorthogonality

<sup>4</sup> Compact Support

<sup>5</sup> Demiralp

<sup>6</sup> Sub-Band Coding

باشد؛ لذا در اینجا به منظور بررسی دسته ویژگی‌های مطرح شده، روش‌هایی اخذ شده است که قادر به ارزیابی گروهی ویژگی‌ها باشند.



شکل ۵: مراحل تبدیل موجک گسسته

### ۵-۳-۲- روش مبتنی بر همبستگی

این روش بر اساس این اصل عمل می‌کند که مجموعه ویژگی خوب، مجموعه‌ای است که ویژگی‌های آن بیشترین همبستگی را با طبقه‌ی خود داشته و ویژگی‌های آن مجموعه با یکدیگر، کمترین همبستگی را داشته باشند؛ بنابراین سعی می‌کند متغییر  $M_s$  را بیشینه کند. مجموعه‌ی انتخابی را با  $S$  مشخص می‌کند.

$$M_s = \frac{k \cdot \bar{r}_{cf}}{\sqrt{k + k \cdot (k-1) \cdot \bar{r}_{ff}}} \quad (21)$$

که در آن  $k$  تعداد ویژگی‌های مجموعه‌ی  $S$  است.  $\bar{r}_{cf}$  میانگین همبستگی بین ویژگی‌ها و برجسب دسته‌هاست و  $\bar{r}_{ff}$  میانگین خودهمبستگی بین ویژگی‌هاست [۲۹].

### ۵-۳-۳- روش مبتنی بر نتایج طبقه‌بندی کننده

در این روش که معمولاً برای مقایسه‌ی دسته‌ویژگی‌های مختلف به کار گرفته می‌شود، هر دسته ویژگی به صورت جداگانه به یک طبقه‌بندی‌کننده‌ی واحد داده شده است و دقت حاصل از طبقه‌بندی در خروجی محاسبه می‌گردد. با توجه به ثابت بودن طبقه‌بندی‌کننده، کارایی بهتر به دست آمده در هر کدام از حالت‌ها را می‌توان به مناسب‌تر بودن دسته ویژگی ورودی نسبت داد. در این مقاله از آنالیز تفکیک خطی<sup>۱</sup> (LDA) به عنوان طبقه‌بندی‌کننده استفاده شده است. این روش به خاطر پیاده‌سازی نسبتاً ساده و عدم نیاز به اطلاعات جنبی خاص و تنظیم پارامترهای مختلف، معمولاً جزء اولین گزینه‌های پیشنهادی در مسائل طبقه‌بندی می‌باشد.

### ۵-۴-۲- طبقه‌بندی کننده

#### ۵-۴-۱- ماشین همیار<sup>۲</sup>

پیشنهاد استفاده از ماشین‌های همیار اولین بار در ۱۹۹۰ مطرح شد و در سال‌های اخیر نیز روش‌های مختلفی در مورد آن مطرح شده است. ماشین همیار ترکیبی از چند طبقه‌بندی‌کننده است که از ترکیب نتایج فردی آن‌ها نتیجه‌ی نهایی به دست می‌آید. شرایط این طبقه‌بندی

### ۵-۳-۱- معیار دیویس بولدین

یکی از معیارهایی که برای ارزیابی گروهی ویژگی‌ها به کار گرفته می‌شود، بررسی میزان پراکندگی دسته‌هاست. عموماً در یک مسئله طبقه‌بندی مناسب‌ترین حالت زمانی رخ می‌دهد که هر طبقه دارای توزیع متمرکز و مجموع طبقه‌ها در فضای کلی دارای توزیع دور از هم باشند؛ در بررسی توزیع‌های چند طبقه‌ای یکی از روش‌ها، معیار دیویس بولدین است که تعریف می‌شود:

$$R_{ij} = \frac{S_i + S_j}{D_{ij}} \quad (19)$$

$S_i$  و  $S_j$  اندازه‌ی پراکندگی دو دسته و در واقع اندازه‌ی بردار واریانس داخل هر دسته هستند.  $D_{ij}$  اختلاف بین میانگین دو دسته است.

$$DB = (1/k) \sum_{i=1}^k \text{Max}(R_{ij}) \quad (20)$$

هرچه مقدار معیار دیویس بولدین بیشتر باشد، تفکیک‌پذیری دسته‌ها پایین‌تر است [۲۸].

<sup>1</sup> Linear Discriminant Analysis

<sup>2</sup> Committee Machines



شبکه‌ی عصبی چند لایه‌ی پس انتشار خطا (MLP) این شبکه را می‌توان ترکیبی از چند شبکه‌ی تک لایه پرسپترون دانست که هر لایه می‌تواند از تعداد نرون و توابع متفاوت تشکیل شود. در این مقاله از شبکه‌ی یک لایه‌ی پنهان با دو نرون استفاده شده است. الگوریتم پس انتشار خطا که تعمیمی از الگوریتم<sup>۱</sup> LMS است جهت آموزش این شبکه به کار رفته است. این الگوریتم در مسیر برگشت به تعدیل وزن‌های شبکه برای رسیدن به نقطه‌ی مطلوب که همراه با کاهش خطای خروجی است، می‌پردازد [۲۰].

#### ماشین‌های بردار پشتیبان (SVM)

SVMها برای جداسازی دادگان تفکیک‌پذیر خطی و غیرخطی به کار می‌روند. در جداسازی دادگان غیرخطی جداناپذیر، ویژگی اصلی آن‌ها انتقال داده‌ها به فضایی با ابعاد بیشتر می‌باشد که در آن امکان تفکیک‌پذیری خطی دادگان وجود دارد. این عمل توسط تابع کرنل صورت می‌گیرد که در این مقاله با توجه به کارهای مشابه از کرنل گوسی استفاده شد [۲۴].

#### نحوه‌ی ارزیابی نتایج طبقه‌بندی کننده

به منظور اطمینان از نتایج، روش اعتبارسنجی ۱۰ بار ۱۰ دسته<sup>۲</sup> به کار رفت. در این روش، دادگان به ۱۰ قسمت مساوی تقسیم و در هر مرحله یک دسته برای آزمون کنار گذاشته شده است و با ۰/۹ دیگر آموزش انجام شد. میانگین نتایج این ۱۰ بار طبقه‌بندی به عنوان نتیجه‌ی نهایی در نظر گرفته شد [۳۴].

## ۶ - پیاده‌سازی و نتایج

به منظور بررسی روش ارائه شده، از دادگان ۷ کانال، PO7، PO8، Fz، C3، Cz، C4، Pz استفاده شد. اینها کانال‌های مشترک دو فرد A، B می‌باشد که توسط نفر دوم مسابقه BCI2005 پیشنهاد شده است [۱۷]. موقعیت این الکترودها در شکل (۷) نشان داده شده است.

در گام اول بعد از انجام پیش‌پردازش‌های ذکر شده برای سیگنال‌ها، ویژگی‌های معرفی شده استخراج گردید. ابتدا مقدار دیویس بولدین برای هر دسته ویژگی محاسبه گردید.

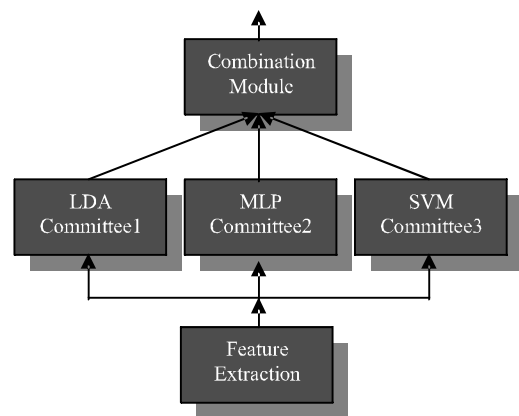
<sup>1</sup> Least Mean Squares

<sup>2</sup> 10 Times 10 Folds Cross-Validation

کننده‌ها از جنبه‌های مختلف مانند دادگان آموزش، شرایط اولیه یا نوع طبقه‌بندی کننده می‌تواند متفاوت باشد.

ماشین‌های همیار می‌توانند کارآیی بهتری در تشخیص دادگان آزمون نسبت به تشخیص فردی ارائه دهند، چراکه با انتخاب یک ترکیب مناسب با عدم همپوشانی خطا، خطاهای طبقه‌بندی کننده‌های فردی می‌تواند در ترکیب آن‌ها پنهان شود [۳۰]. در این مقاله از ترکیب سه طبقه‌بندی کننده‌ی LDA، MLP، SVM که با دادگان آموزش یکسان تعلیم می‌بینند، استفاده شده است [۳۱]. شکل (۶) ساختار مربوطه را نشان می‌دهد. نحوه‌ی محاسبه‌ی خروجی این ترکیب مطابق رابطه‌ی (۲۲) است:

$$Class(x) = \arg \max_j \sum_{i=1}^M g_i \cdot f_{i,class} = j(x) \quad (22)$$



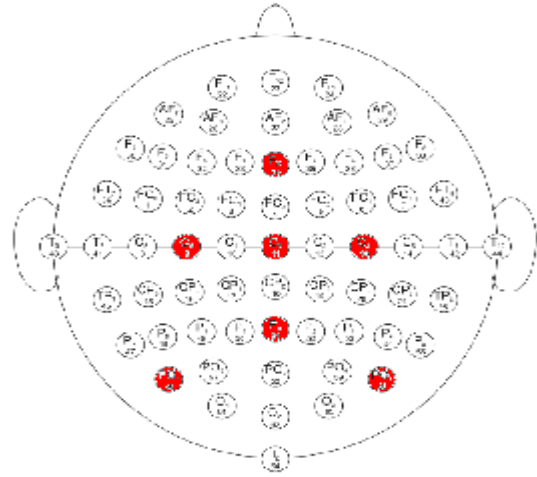
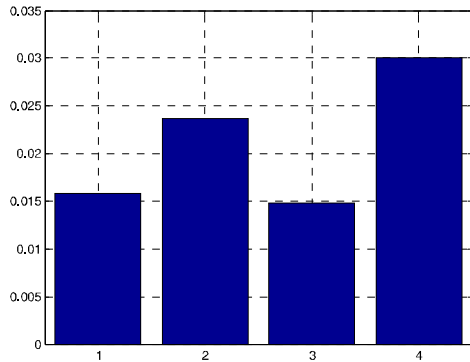
شکل ۶: ساختار ماشین همیار به کار رفته [۳۱].

که در آن خروجی طبقه‌بندی کننده  $i$ ام است که اگر نمونه‌ی  $x$  را متعلق به دسته  $j$ ام تشخیص داده باشد، مقدار آن یک و در غیر این صورت صفر می‌باشد.  $g_i$  مقدار وزنی است که برای ارزش تصمیم طبقه‌بندی کننده‌ی  $i$ ام فرض می‌شود که در این مقاله برای هر سه طبقه‌بندی کننده‌ی یکسان فرض شده است [۳۲].

#### آنالیز تفکیک خطی (LDA)

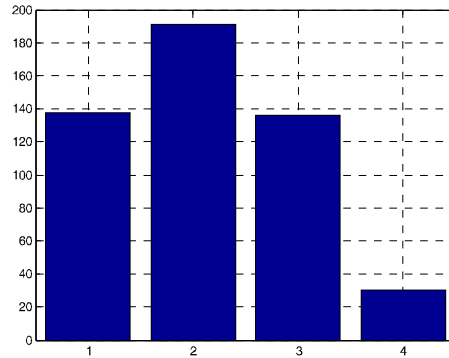
روش فوق یک طبقه‌بندی آماری می‌باشد. در این روش، طبقه‌بندی با یک تبدیل خطی توسط ماتریس وزن‌ها صورت می‌گیرد؛ این وزن‌ها با هدف بیشینه‌کردن پراکندگی بین کلاس‌ها و کمینه‌کردن پراکندگی درون کلاسی تعیین می‌شوند [۳۳].

دومین روش، ارزیابی مبتنی بر همبستگی می‌باشد که متغیر  $M_s$  برای ۴ دسته ویژگی محاسبه شد. شکل (۹) این مقادیر را نشان می‌دهد.



شکل ۷: موقعیت الکترودهایی که از سیگنال‌های آن‌ها استفاده شده است [۳۴].

شکل ۹: نمودار مقایسه‌ی نسبی مقادیر  $M_s$  برای هر دسته ویژگی آنچه که نمودار شکل (۹) نشان می‌دهد، مبنی بر مقدار بیشینه  $M_s$  برای ضرایب تبدیل موجک می‌باشد. معیار سوم برای ارزیابی دسته ویژگی‌ها، مقایسه‌ی نتایج طبقه‌بندی با LDA است. در جدول (۲) این نتایج آورده شده است. نتایج جدول (۲) نیز قابلیت ضرایب تبدیل موجک را در ایجاد یک فضای قابل تفکیک برای سیگنال‌های حاوی P300 و فاقد آن تأیید می‌کند؛ لذا این مجموعه ویژگی در مقایسه با سه ویژگی دیگر مناسب‌تر ارزیابی شد و برای مرحله‌ی طبقه‌بندی نهایی مورد استفاده قرار گرفت.



شکل ۸: نمودار مقایسه‌ی نسبی مقادیر دیویس بولدین برای هر دسته ویژگی

جدول (۲): مقایسه‌ی دسته ویژگی‌های مختلف در طبقه‌بندی با LDA برای دادگان چند کاناله

دسته و ویژگی	درصد صحت آموزش		درصد صحت آزمایش	
	غیرهدف	هدف	غیرهدف	هدف
۱	۷۲/۸±۰/۶	۷۵/۵±۱/۸	۶۸/۴±۵/۱	۵۷/۰±۹/۶
۲	۹۵/۵±۱/۱	۶۳/۷±۲/۰	۵۷/۷±۲/۶	۴۷/۶±۱۲/۵
۳	۶۵/۹±۱/۱	۷۵/۵±۳/۱	۵۴/۸±۵/۳	۴۵/۲±۱۱/۴
۴	۹۴/۵±۰/۴	۶۹/۳±۰/۷	۹۲/۴±۲/۳	۹۲/۳±۶/۲

شکل (۸) مقایسه‌ای بین مقادیر دیویس بولدین دسته ویژگی‌ها می‌باشد که جدول (۱) ویژگی‌های مرتبط با هر ستون نمودار را نشان می‌دهد. همان‌طور که نمودار شکل (۸) نشان می‌دهد در بین این ۴ دسته ویژگی، ضرایب تبدیل موجک کمترین و پارامترهای خودبازگشتی بیشترین مقدار دیویس بولدین را دارند؛ لذا بر اساس این معیار، ضرایب تبدیل موجک، بیشترین تفکیک‌پذیری را برای این سیگنال‌ها فراهم می‌کنند.

همان‌طور که اشاره شد، طبقه‌بندی‌کننده‌ی به‌کار رفته دارای یک ساختار ترکیبی متشکل از LDA, SVM, MLP می‌باشد؛ در این ساختار لازم است که ابتدا هر یک از طبقه‌بندی‌کننده‌ها آموزش داده شوند. با توجه به تعداد بیشتر دسته‌ی فاقد P300 و به‌منظور آموزش یکسان هر دو دسته توسط طبقه‌بندی‌کننده‌ها، لازم است بین دادگان هر

جدول (۱) ویژگی‌های استخراج شده از سیگنال

شماره	ویژگی
۱	شکلی - زمانی
۲	پارامترهای خودبازگشتی
۳	فرکانس‌های بیشینه، میانه، میانگین
۴	ضرایب تبدیل موجک Quadratic B_Spline

سیگنال‌ها فراهم شود؛ چراکه سیگنال خام همراه با اطلاعات اضافی است که علاوه بر پایین آوردن سرعت می‌تواند باعث سردرگمی طبقه‌بندی‌کننده گردد؛ بدین‌منظور چند دسته ویژگی که در کارهای مشابه استفاده شده بود، استخراج گردید؛ سپس این چهار دسته ویژگی توسط سه معیار مورد ارزیابی قرار گرفتند. معیار دیویس بولدین که توزیع طبقه‌ها را در فضای ویژگی بررسی می‌کند، ضرایب تبدیل موجک را مناسب‌تر ارزیابی کرد. همچنین معیار مبتنی بر همبستگی نیز ضرایب تبدیل موجک را دارای بیشترین همبستگی با طبقه‌ی خود و در عین حال حداقل همبستگی با طبقه‌ی مقابل معرفی کرد. در روش سوم نیز که با یک LDA به طبقه‌بندی دادگان پرداخته شد، نتایج طبقه‌بندی ضرایب تبدیل موجک به نسبت سه دسته‌ی دیگر به‌طور قابل توجهی بالاتر بود. با توجه به نتایج این سه معیار، ضرایب تبدیل موجک به‌عنوان دسته‌ویژگی مناسب‌تر انتخاب شد؛ این ضرایب، مستقل از دادگان، دارای یک عدم همبستگی ذاتی که ناشی از متعامد بودن آن‌هاست، می‌باشند؛ در نتیجه بار اطلاعات مفید آن‌ها افزایش یافته است [۲۹]. همچنین این مجموعه با نمایش هم‌زمان حوزه‌ی زمان و فرکانس از سیگنال‌ها، به شکل مناسبی فضای قابل تفکیکی بین سیگنال‌های P300 دار و بدون P300 فراهم کرده است.

در بخش دوم کار، بعد از انتخاب یک دسته ویژگی مناسب، به‌منظور طبقه‌بندی، ترکیب SVM, MLP, LDA استفاده شد. در این ترکیب ابتدا هر طبقه‌بندی‌کننده در مورد داده‌ی ارائه شده به‌طور فردی تصمیم گرفته و سپس با رأی‌گیری از این سه نتیجه، تصمیم نهایی گرفته شد. این روش کمک می‌کند بخشی از خطای فردی طبقه‌بندی‌کننده‌ها در این رأی‌گیری پنهان شود و نتایج بهبود یابد. نتایج جداول (۳) و (۴) نیز مؤید همین مطلب است.

## ۸ - پیشنهادها

با توجه به مطرح شدن تئوری جدیدی توسط بشار<sup>۱</sup> [۳۵] و بیان تحلیل زمان-فرکانس به‌عنوان یک استراتژی جدید در بررسی سیگنال‌های برانگیخته در سال ۲۰۰۱ [۲۱]، می‌توان نتایج مناسب این مقاله در بخش ارزیابی دسته ویژگی‌ها را

<sup>۱</sup> Basar

دو دسته، توازن برقرار شود. لذا هر بار بعد از تفکیک دادگان آزمایش، در مجموعه‌ی آموزش، دادگان P300 دار ۴ بار تکرار شدند. بعد از این مرحله، دادگان به‌گونه‌ای هنجارسازی شد که میانگین و واریانس در ستون مربوط به هر ویژگی به ترتیب ۰ و ۱ گردید. ماتریس لازم برای هنجارسازی دادگان آزمون نیز از دادگان آموزش به‌دست آمد. در مرحله‌ی آموزش طبقه‌بندی‌کننده‌ها، به‌منظور اطمینان از آموزش MLP و همچنین تنظیم پارامترهای SVM، ۰/۱ دادگان آموزش به‌عنوان داده‌ی اعتبارسنجی به‌کار رفت. در جداول (۳) و (۴) نتایج طبقه‌بندی فردی طبقه‌بندی‌کننده‌ها و ترکیب آن‌ها برای هر دو سوژه‌ی مسابقه، A و B، آورده شده است. در مورد سوژه‌ی A از این ساختار ترکیبی در تشخیص سیگنال هدف و غیرهدف به‌طور میانگین در دادگان آموزش درصد صحت تشخیص ۹۷/۶٪ و در آزمون ۹۴/۲٪ به‌دست آمد. در مورد سوژه‌ی B نیز نتایج عبارتند از ۹۸/۲٪ در آموزش و ۹۲/۸٪ در آزمون.

جدول (۳): مقایسه‌ی نتایج طبقه‌بندی ضرایب تبدیل موجک

### برای سوژه‌ی A

طبقه‌بندی کننده	درصد صحت آموزش		درصد صحت آزمایش	
	غیرهدف	هدف	غیرهدف	هدف
LDA	۹۴/۰±۰/۶	۹۶/۰±۱/۰	۹۲/۷±۲/۷	۹۰/۰±۷/۹
MLP	۹۸/۷±۰/۴	۹۹/۲±۰/۴	۹۵/۶±۲/۵	۹۰/۰±۷/۹
SVM	۹۶/۳±۰/۲	۹۷/۶±۰/۵	۹۴/۵±۳/۱	۸۸/۸±۹/۰
COMMITTEE	۹۷/۲±۰/۲	۹۸/۰±۰/۸	۹۵/۴±۶/۲	۹۳/۰±۶/۲

جدول (۴): مقایسه‌ی نتایج طبقه‌بندی ضرایب تبدیل موجک

### برای سوژه‌ی B

طبقه‌بندی کننده	درصد صحت آموزش		درصد صحت آزمایش	
	غیرهدف	هدف	غیرهدف	هدف
LDA	۹۴/۵±۰/۷	۹۵/۰±۰/۹	۹۳/۰±۲/۲	۹۰/۰±۱۰/۰
MLP	۹۵/۷±۳/۶	۹۸/۴±۰/۵	۹۱/۶±۶/۲	۸۹/۴±۹/۹
SVM	۹۸/۰±۰/۴	۹۹/۰±۰/۴	۹۵/۸±۲/۴	۸۷/۰±۹/۵
COMMITTEE	۹۷/۵±۰/۶	۹۹/۰±۰/۵	۹۵/۵±۲/۷	۹۰/۰±۸/۷

## ۷ - بحث و نتیجه‌گیری

در این مقاله روشی جهت تفکیک سیگنال‌های حاوی P300 و فاقد آن به‌منظور به‌کارگیری در سامانه‌های ارتباط مغز با رایانه ارائه گردید. به‌منظور حصول نتیجه‌ای مناسب در یک چنین سامانه‌ای، لازم بود تا فضای نسبتاً قابل تفکیکی برای

- [6] Polikoff, J. B; Bunnel, H. T; Borkowski, W. J; "Toward a P300-based Computer Interface," Applied Science and Engineering Laboratories, A. I. duPont Institute, Wilmington. Available: [www.asel.udel.edu/speech/reports/resna95/p300.pdf](http://www.asel.udel.edu/speech/reports/resna95/p300.pdf)
- [7] Farwell, L. A; Donchin, E; "Talking of top of your head: Toward a mental prostethis utilizing event-related brain potentials," *Electroencephalogr and Clin Neurophy*, vol.70, pp.510-523, 1988.
- [8] Donchin, E.; Spencer, K.M.; Wijensinghe, R.; "The Mental Prosthesis: Assessing the Speed of A P300-Based Brain-Computer Interface," *IEEE Trans. Rehab. Eng.*, vol. 8, pp. 174-179, 2000.
- [9] BCI Competition 2003. [ida.first.fraunhofer.de/projects/bci/competition\\_ii/](http://ida.first.fraunhofer.de/projects/bci/competition_ii/)
- [10] Bostanov, V.; "BCI Competition 2003—Data Sets Ib and Iib: Feature Extraction From Event-Related Brain Potentials With the Continuous Wavelet Transform and the t-Value Scalogram," *IEEE Trans, Biomed. Eng.*, vol. 51, no. 6, pp.1057-1061, June 2004
- [11] Xu, N.; Gao, X.; Hong, B.; Miao, X.; Gao, S.; Yang, F.; "BCI Competition 2003\_data Set Iib: enhancing P300 wave detection using ICA based subspace projections for BCI applications," *IEEE Trans. Biomed. Eng.*, vol. 51, no. 6, pp. 1067-1072, June 2004.
- [12] Kaper, M.; Meinicke, P.; Grossekathoefer, U.; Lingner, T.; Ritter, H.; "BCI competition 2003—data set Iib: support vector machines for the P300 speller paradigm," *IEEE Trans. Biomed. Eng.*, vol. 51, no. 6, pp. 1073-1076, June 2004
- [13] Hoffmann, U.; Garcia, G.; Vesin, J.M.; Diserens, K.; Ebrahimi, T.; "A Boosting Approach to P300 Detection with Application to Brain-Computer Interfaces," *IEEE Conf.*, pp.97-100, 2005.
- [14] Liu, Y.; Zhou, Z.; Hut, D.; Dong, G.; "T-weighted Approach for Neural Information Processing in P300 based Brain-Computer Interface," *IEEE Conf.*, pp.1535-1539, 2005.
- [15] Wang, C.; Guan, C.; Zhang, H.; "P300 Brain-Computer Interface Design for Communication and Control Applications," *IEEE Conf.*, pp.5400-5403, 2005.
- [16] Hinic, V.; Petriu, E.; Whalen, T.; "Human-Computer Symbiotic Cooperation in Robot-Sensor Networks," *IEEE Conf.*, pp.1-6, 2007.
- [17] BCI Competition 2005. [ida.first.fraunhofer.de/projects/bci/competition\\_iii/](http://ida.first.fraunhofer.de/projects/bci/competition_iii/)
- [18] Kalatzis, I.; Piliourasa, N.; Ventourasa, E.; Papageorgioub, C.C.; Rabavilas, A.D.; Cavourasa, B.D.; "Design and implementation of

در تأیید این نظریه بیان کرد.

بررسی انواع موجک در تحلیل مناسب تر پتانسیل های برانگیخته، و به صورت خاص، مؤلفه ی P300 پتانسیل وابسته به رخداد را در ادامه ی کار می توان پیشنهاد کرد. موضوع دیگر که لازم است مورد توجه قرار گیرد، پرداختن به مؤلفه یا زیرمؤلفه هایی از پتانسیل های برانگیخته است که به صورت شکلی-ظاهری همچون P300 در حوزه ی زمان قابل مشاهده نیستند؛ اما به صورت ثابتی در انواع تحریک ها بروز کرده و توسط ضرایب حوزه ی زمان-فرکانس قابل نمایش و بررسی هستند.

در بخش ترکیب طبقه بندی کننده ها، بررسی سایر روش های ترکیب با معیار همپوشانی خطای کمتر، توصیه می شود. از آنجا که هدف این کار مقایسه ی دسته ویژگی ها و مطرح نمودن دسته حوزه ی زمان-فرکانس بوده است، بهتر است علاوه بر ارزیابی کلی دسته ویژگی ها، ترکیب ویژگی ها را متناسب با هر طبقه بندی کننده، بهینه نمود و در ترکیب برای هر طبقه بندی کننده، دسته ویژگی بهینه ی خودش را استفاده نمود.

## ۱- مراجع

- [۱] واقفی، مهسا؛ بررسی روش های مبتنی بر موجک در ارتقای نتایج واسط مغز-کامپیوتر، "سمینار کارشناسی ارشد، دانشگاه شاهد، ۱۳۸۶.
- [۲] عطری، فرید؛ استخراج و پردازش EEG متأثر از بیوفیدبک جهت ارسال حروف الفبای مورد توجه فرد، "پایان نامه ی کارشناسی ارشد، دانشگاه تهران، ۱۳۸۵.
- [۳] ابوطالبی، وحید؛ مرادی، محمدحسن؛ خلیل زاده، محمدعلی؛ "تشخیص مؤلفه های شناختی در سیگنال های مغزی با استفاده از ضرایب ویولت" *مجله ی مهندسی پزشکی، دوره ی اول، شماره ی اول، ص.ص. ۲۵-۴۶، ۱۳۸۳.*
- [۴] ابوطالبی، وحید؛ "تجزیه و تحلیل مؤلفه های شناختی سیگنال الکتریکی مغز و کاربرد آن در دروغ سنجی، "پایان نامه ی دکترای، دانشکده ی مهندسی پزشکی، دانشگاه صنعتی امیرکبیر، ۱۳۸۵.
- [5] Polich, J." Updating P300: An integrative theory of P3a and P3b," *ELSEVIER Trans, Clinical Neurophysiology*, vol. 118, pp. 2128-2148, 2007

[۲۷] شبیهی، شبیری؛ "طبقه‌بندی افراد مستعد به الکلیسم و افراد غیرمستعد با استفاده از پتانسیل‌های وابسته به رخداد،" پایان‌نامه‌ی کارشناسی ارشد، واحد علوم و تحقیقات، دانشگاه آزاد، ۱۳۸۵.

[۲۸] بوستانی، رضا؛ "بهبود عملکرد یک سیستم واسطه کامپیوتری مغزی به منظور افزایش قابلیت افراد قطع نخاع در تعامل با محیط اطراف،" پایان‌نامه‌ی دکتری، دانشکده‌ی مهندسی پزشکی، دانشگاه صنعتی امیرکبیر، ۱۳۸۳.

[29] Hall, M.A.; "Correlation-Based Feature Selection for Machine Learning," PhD Thesis, University of Waikato, 1999

[30] Volker T.; "Committee Machines," in Handbook of NEURAL NETWORK SIGNAL PROCESSING, CRC Press, 2002.

[31] Seyyedsalehi, S.Z; Nasrabadi, A.M; Abootalebi, V; "Committee Machines and Quadratic B-Spline Wavelet for the P300 Speller Paradigm," Accepted for AICCSA-08

[32] Zheng, Y.; Jiang, H.; Yan, "Committee machines with ensembles of multilayer perceptron for the support of diagnosis of heart diseases," in Proc. 3rd Conf. Communications, Circuits and Systems Proceedings, V3, pp. 2046-2050. 25-28 June 2006.

[33] Fukunaga, J; 1990. Statistical Pattern Recognition, 2nd ed. Academic Press, New York, 1990.

[۳۴] سیدصالحی، سیده‌زهره؛ نصرآبادی، علی؛ ابوطالبی، وحید؛ "استفاده از تبدیل موجک Quadratic B-Spline در تشخیص خودکار مؤلفه‌ی P300 جهت ارتباط مغز با رایانه،" اولین کنفرانس داده‌کاوی، ایران، آبان ۱۳۸۶.

[35] Basar, E.; Schurmann, M.; "Preface Toward new theories of brain function and brain dynamics," International Journal of Psychophysiology, vol.39, pp.87-89, 2001.



**سیده زهره سیدصالحی** مدرک کارشناسی خود را در رشته‌ی مهندسی پزشکی - بیوالکترونیک در سال ۱۳۸۳ از دانشگاه صنعتی امیرکبیر و مدرک کارشناسی ارشد در رشته‌ی مهندسی برق - مهندسی پزشکی را در سال ۱۳۸۶ از دانشگاه

an SVM-based computer classification system for discriminating depressive patients from healthy controls using the P600 component of ERP signals", Computer Methods and Programs in Biomedicine, vol. 75, pp.11-22, 2004.

[۱۹] محمدیان، امین؛ ابوطالبی، وحید؛ "طبقه‌بندی تک‌ثبت سیگنال‌های ERP به‌منظور آشکارسازی تحریک هدف" مجله‌ی پژوهشکده‌ی پردازش هوشمند علائم، شماره‌ی اول، پیاپی پنجم، ص.ص. ۳-۱۲، ۱۳۸۵.

[۲۰] محمدیان، امین؛ "دسته‌بندی پتانسیل برانگیخته بینایی بر حسب نوع تحریک،" پایان‌نامه‌ی کارشناسی ارشد، دانشکده‌ی فنی و مهندسی، دانشگاه تربیت مدرس، ۱۳۸۴.

[21] Basar, E.; Schurmann, M.; Demiralp, T.; "Event-related oscillations are 'real brain responses' wavelet analysis and new strategies" International Journal of Psychophysiology, vol.39, pp.91-127, 2001.

[۲۲] محمدیان، امین؛ فیروزآبادی، سیدمحمد؛ جعفرزاده پور، ابراهیم؛ شرافت، احمدرضا؛ "طبقه‌بندی سیگنال‌های پتانسیل برانگیخته بینایی مدوله شده اپتیکی با شبکه عصبی مصنوعی" یازدهمین کنفرانس مهندسی پزشکی ایران بهمن ۱۳۸۲.

[۲۳] موسوی‌زاده، سید فرهود؛ خلیل‌زاده، محمدعلی؛ ابوطالبی، وحید؛ "تحلیل زمان-فرکانس ریزحالات مغزی به کمک شبکه‌های عصبی خودسازمانده،" سیزدهمین کنفرانس مهندسی پزشکی ایران اسفند ۱۳۸۵.

[۲۴] شبیهی، شبیری؛ مطیع نصرآبادی، علی؛ مرادی، محمدحسن؛ "تفکیک افراد مستعد به الکلیسم و غیرمستعد بر مبنای پتانسیل‌های وابسته به رخداد، به کمک ماشین‌های بردار پشتیبان و ویژگی‌های آماری ویولت" سیزدهمین کنفرانس مهندسی پزشکی، اسفند ۱۳۸۵.

[25] Ademoglu, A.; Tzanakou, E.M.; I Stefanopulos, Y.; "Analysis of Pattern Reversal Visual Evoked Potentials (PRVEPs) by Spline Wavelets," IEEE Trans. Biomed. Eng., vol. 44, no. 9, SEP. 1997, pp. 881\_890.

[26] Demiralp, T.; I Stefanopulos, Y.; Ademoglu, A.; Yordanova, J.; Kolev, V.; "Analysis of functional components of P300 by wavelet transform," in Proc.20rd Conf. Engineering in Medicine and Biology Society, vol.4, pp. 1992 - 1995. 29 Oct-1 Nov 1988.

شاهد اخذ نمود. وی هم‌اکنون دانشجوی دکترای مهندسی پزشکی-بیوالکتریک در دانشگاه صنعتی امیرکبیر می‌باشد. زمینه‌های تحقیقاتی مورد علاقه‌ی وی پردازش سیگنال‌های EEG، BCI، شبکه‌های عصبی مصنوعی، الگوریتم ژنتیک، شناسایی الگو و فرایندهای مارکوف می‌باشد.

نشانی پست الکترونیکی ایشان عبارت است از:  
z.seyyedsalehi@aut.ac.ir

**علی مطیع نصرآبادی** مدرک کارشناسی خود را در رشته‌ی



مهندسی برق- الکترونیک در سال ۱۳۷۳ از دانشگاه صنعتی امیرکبیر و مدرک کارشناسی ارشد در رشته‌ی مهندسی برق- مهندسی پزشکی را در سال ۱۳۷۷ از همان دانشگاه اخذ نمود. وی در سال

۱۳۸۲ دکترای خود را در رشته‌ی مهندسی پزشکی- بیوالکتریک از دانشگاه صنعتی امیرکبیر دریافت نمود و هم‌اکنون عضو هیأت علمی دانشکده‌ی فنی- مهندسی دانشگاه شاهد می‌باشد. زمینه‌های تحقیقاتی مورد علاقه‌ی وی پردازش سیگنال‌های EEG، ERP در حالات ذهنی و BCI، فشرده‌سازی سیگنال‌های حیاتی، پردازش آشوب‌گونه و زمان-فرکانس سیگنال‌های حیاتی، شبکه‌های عصبی مصنوعی، الگوریتم ژنتیک، شناسایی الگو، مدلسازی سیستم‌های بیولوژیکی و تقویت‌کننده‌های سیگنال‌های حیاتی می‌باشد.

نشانی پست الکترونیکی ایشان عبارت است از:  
nasrabadi@shahed.ac.ir



**وحید ابوطالبی** مدرک کارشناسی خود را در رشته‌ی مهندسی برق- الکترونیک در سال ۱۳۷۵ از دانشگاه صنعتی شریف و مدرک کارشناسی ارشد در رشته‌ی مهندسی برق- مهندسی پزشکی را در

سال ۱۳۷۸ از همان دانشگاه اخذ نمود. وی در سال ۱۳۸۵ دکترای خود را در رشته‌ی مهندسی پزشکی- بیوالکتریک از دانشگاه صنعتی امیرکبیر دریافت نمود و هم‌اکنون عضو هیأت علمی دانشکده‌ی مهندسی برق دانشگاه یزد می‌باشد. زمینه‌های تحقیقاتی مورد علاقه‌ی وی پردازش سیگنال‌های حیاتی، تجزیه و تحلیل سیگنال‌های مغزی و بررسی فعالیت‌های شناختی می‌باشد.

نشانی پست الکترونیکی ایشان عبارت است از:  
abootalbehi@yazduni.ac.ir